



Original Article

Effect of hydroalcoholic extract of *Berberis vulgaris* L. fruit on the amount of angiogenesis in the chorioallantoic membrane of chicken embryos

Fereshteh Roygari^{iD}¹, Sholeh Gholasimod*^{iD}², Nader Ghaleh Golab^{iD}³

ABSTRACT

Background and Aims: Cancer, which is characterized by irregular cell metabolism and the development of metastasis risk, is still a significant risk and life-threatening. Although there are several unique advantages for cancer treatment, some problems, such as poor drug targeting efficacy, increased tumor hypoxia, severe coronary syndromes, excessive ventricular conduction, and drug-induced drug resistance, have emerged in recent years. Chemotherapy and increased risk of tumor metastasis have limited their potential clinical use.

Materials and Methods: In this experimental study, a total of 36 embryonic eggs were randomly selected. Then, four treatments, including control, 40, 80, and 120 µg/ml hydroalcoholic extract of *Berberis vulgaris* (*B. vulgaris*) fruit, and nine replications were tested. On the third day of incubation, the eggs were exposed to an open window, and on the eighth day, the experimental groups were treated with 40, 80 and 120 µg/ml alcoholic extract of *B. vulgaris* fruit, which was collected from Qaen city in South Khorasan Province, Iran. On the 12th day, the chorioallantoic membrane of all samples was photographed using a photo stereomicroscope, the numbers/diameters of vascular branches were measured using the Image J software (1.46r), and the resulting data were analyzed using the SPSS software (version 22) and the least significant difference (LSD) test ($P \leq 0.01$)

Results: The mean number of vessels in the experimental groups was equal to (6.23±0.81) and (22.89±0.81), which indicated a significant dose-dependent reduction compared to the mean number of vessels measured in the control group (15.73±0.29) and (53.87±2.07) ($P=0.003$).

Conclusion: The use of the hydroalcoholic extract of *B. vulgaris* in three doses of 40, 80, and 120 µg/ml can reduce the number of branches and the diameter of vessels in the chorioallantoic membrane of chicken embryos, which indicates the process of angiogenesis inhibition.

Keywords: Angiogenesis, *Berberis vulgaris*, Chorioallantoic membrane, Hydroalcoholic extract



Citation: Gholasimod Sh, Roygari F, Ghaleh Golab N. [Effect of hydroalcoholic extract of Berberis vulgaris L. fruit on the amount of angiogenesis in the chorioallantoic membrane of chicken embryos]. J Birjand Univ Med Sci. 2024; 31(1): 68-78. [Persian]

DOI <http://doi.org/10.32592/JBirjandUnivMedSci.31.1.68>

Received: January 9, 2024

Accepted: May 9, 2024

¹ Master's Student in Biotechnology, Faculty of Natural Sciences and Environment, University of Birjand, Birjand, Iran

² Department of Watershed and Pasture Management, Faculty of Natural Sciences and Environment, University of Birjand, Birjand, Iran

³ Razi Vaccine and Serum Production, Shiraz, Iran

***Corresponding author:** Department of Watershed and Pasture Management, Faculty of Natural Sciences and Environment, University of Birjand, Birjand, Iran
E-mail: sgholasimod@birjand.ac.ir

تأثیر عصاره هیدروالکلی میوه *Berberis vulgaris* L. بر میزان رگزایی در پرده کوریوآلانتوئیک جنین مرغ

فرشته رویگری^۱، شعله قلاسی مود^{۲*}، نادر قلعه گلاب^۳

چکیده

زمینه و هدف: سرطان که با متاپولیسم سلوی نامنظم و توسعه خطر متابستاز مشخص می‌شود، همچنان یک خطر بزرگ و کشنده برای زندگی انسان است. اگرچه چندین مزیت منحصر به فرد برای درمان سرطان وجود دارد در سال‌های اخیر، مشکلاتی مانند اثربخشی ضعیف هدف‌گیری داروها، افزایش هیپوکسی تومور، سندروم‌های شدید کرونری، هدایت بطی نیز از حد، مقاومت دارویی ناشی از داروهای شیمی درمانی و افزایش خطر متابستاز تومور، استفاده بالقوه آن‌ها را در بالینی محدود کرده است.

روش تحقیق: در این مطالعه تجربی، تعداد ۳۶ عدد تخم مرغ جنین دار به صورت تصادفی انتخاب شدند و چهار تیمار شاهد $\mu\text{g}/\text{ml}$ ۱۲۰ و ۸۰ و ۴۰ عصاره هیدروالکلی میوه زرشک و ۹ تکرار مورد آزمایش قرار گرفتند. در روز سوم انکوباسیون بر روی تخم مرغ‌ها پنجره‌ای باز و روز هشتم با عصاره میوه زرشک که از استان خراسان جنوی (قاین) جمع‌آوری گردید، تیمار شدند. در روز دوازدهم از پرده کوریوآلانتوئیک تمام نمونه‌ها به کمک فتواستریومیکروسکوپ عکس‌برداری شد، تعداد و قطر انشعابات عروق با کمک نرم‌افزار J Image (نسخه ۱.۴۶r) اندازه‌گیری و داده‌های حاصل با استفاده از نرم‌افزار SPSS (نسخه ۲۲) و آزمون LSD تحلیل شدند ($P \leq 0.01$).

یافته‌ها: میانگین تعداد و قطر عروق در گروه‌های تجربی به ترتیب به میزان $(6/23 \pm 0/13)$ و $(6/23 \pm 0/81)$ بود که در مقایسه با میانگین تعداد و قطر عروق اندازه‌گیری شده در گروه شاهد به ترتیب به میزان $(15/73 \pm 0/29)$ و $(15/73 \pm 0/07)$ به صورت وابسته به دوز کاهش معنی‌داری نشان داد ($P = 0.003$).

نتیجه‌گیری: بربط مقاطعات انجام شده در این پژوهش استفاده از عصاره هیدروالکلی میوه گیاه زرشک می‌تواند سبب کاهش تعداد انشعابات و قطر عروق در پرده کوریوآلانتوئیک جنین جوچ شود که این امر نشان‌دهنده فرایند مهار رگزایی است.

واژه‌های کلیدی: رگزایی، زرشک، پرده کوریوآلانتوئیک، عصاره هیدروالکلی

مجله علمی دانشگاه علوم پزشکی بیرجند، ۱۴۰۳؛ ۳۱(۱): ۷۸-۶۸.

دربافت: ۱۴۰۲/۱۰/۱۹ پذیرش: ۱۴۰۳/۰۲/۲۰

^۱ دانشجوی کارشناسی ارشد رشته بیوتکنولوژی، دانشکده منابع طبیعی و محیط زیست دانشگاه بیرجند، بیرجند، ایران

^۲ گروه مرتع و آبخیزداری، دانشکده منابع طبیعی و محیط زیست، دانشگاه بیرجند، بیرجند، ایران

^۳ مدیر تولید موسسه واکسن و سرم سازی رازی شیراز، شیراز، ایران

*نویسنده مسئول: گروه مرتع و آبخیزداری، دانشکده منابع طبیعی و محیط زیست، دانشگاه بیرجند، بیرجند، ایران

آدرس: شهر بیرجند- دانشگاه بیرجند- دانشکده منابع طبیعی و محیط زیست- گروه مرتع و آبخیزداری

تلفن: ۰۹۱۵۷۵۶۲۷۰۴ پست الکترونیکی: sgholasimod@birjand.aci.ir

مقدمه

نسبت به VEGFR1 است (۱۰). VEGFA پاسخ‌های رگزایی درون تنی را عمدتاً از طریق فعال‌سازی VEGFR2 میانجی‌گری می‌کند. آزمایش‌هایی با حذف VEGF در موش‌ها و حذف VEGF در گورخرماهی، نقش مسیر VEGF را در توسعه عروق خونی و لفاوی نشان داد. حذف ژنتیکی VEGFA یا گیرنده سیگنالینگ اصلی آن VEGFR2 منجر به مرگ جنینی اوایله (در مرحله جنینی E9) می‌شود که با محاصره تقریباً کامل خون‌سازی و رشد عروقی همراه است (۷). VEGF نقش مهمی در چرخه تولید مثل زنان دارد (۱۱). در بالغین تغییرات اندکی در سلول‌ها رخ می‌دهد، در واقع این سلول‌ها در بلوغ خاموش هستند ولی توانایی فعال شدن در پاسخ به عوامل مناسب را دارند به عبارت دیگر می‌توان رگزایی را یک فرآیند ضروری در فیزیولوژی بدن دانست که با واسطه تعادل بین فاکتورهای القاء کننده و مهار کننده رگزایی تنظیم می‌گردد و در صورتی که این تعادل از بین بروز زمینه برای بروز برخی بیماری‌ها از جمله رشد و متاستاز تومور فراهم می‌شود (۱۲).

نئواسکولا ریزاسیون (NV)^۹ یک فرآیند مهم برای رشد و متاستاز تومورها است و برای انتقال مواد غذی و حذف مواد زائد متابولیک از سلول‌های تومور استفاده می‌شود. چندین مطالعه نشان داده‌اند که نئواسکولا ریزاسیون برای رشد تومورهایی که اندازه قطر آن‌ها بیش از ۲-۱ میلی‌متر است ضروری است (۱۳). موفقت درمان ضد رگزایی به نوع سرطان و مرحله سرطان در زمان تشخیص بستگی دارد. برخی از مطالعات اثر درمانی بهتر درمان ضد رگزایی را در بیماران سلطانی هنگامی که با سایر استراتژی‌های ایمونوتراپی ترکیب می‌شود نشان داده‌اند (۱۴). بربرین ترکیب آلکالوئیدی موجود در عصاره میوه زرشک از پیش التهابی عروق جلوگیری نموده و مهار کننده متالوپروتئیناز و ایترولوکین ۲ و ۶ می‌باشد و اثرات ضد رگزایی را نشان داده است و از بیان فاکتور رشد اندوتیال عروقی^{۱۰} VEGF جلوگیری می‌کند. همچنین از طریق مهار ظرفیت کارسینوم سلول‌های کبدی برای تحریک تکثیر سلول‌های اندوتیال ورید نافی انسانی^{۱۱} (HUVEC) و نقش ضد رگزایی ایفا می‌کند

رگ‌های جدید، در بزرگسالان از شبکه عروقی جنینی ایجاد می‌گردد (۱). واسکولوژن^۱، فرآیندی است که در آن سلول‌های اندوتیال از پیش‌سازهای سلول‌های اندوتیالی که آتشیوبلاست ۳ نام دارند، تشکیل می‌گردد (۲). در طی این فرآیند آتشیوبلاست‌ها تکثیر می‌باشد و با هم ائتلاف و ساختارهای اوایله رگی را ایجاد می‌نمایند. پس از شکل‌گیری شبکه رگی اوایله، در طی فرآیندی دیگر یعنی رگزایی^۳ شبکه عروقی با جوانهزنی رگ‌های جدید از رگ‌هایی که از قبل ایجاد شده‌اند تکوین می‌باشد (۳). رگ‌های خونی نقش مهمی در رشد جنین، رشد بدن و بهبود زخم‌ها دارند (۴)، این در حالی است که در بالغین رگزایی محدود است و فقط در طی سیکل تخمدان و فرآیندهای ترمیمی فیزیولوژیکی همچون ترمیم زخم انجام می‌گیرد. مهم‌ترین محرک‌های فیزیولوژیکی رگزایی، ایسکمی بافتی، هیپوکسی و التهاب هستند و علاوه بر آن برخی از فاکتورهای اختصاصی از قبیل فاکتور رشد رگی، سیتوکین‌های التهابی، مولکول‌های چسبنده و نیتریک اکساید رگزایی را تحریک و یا مهار می‌کنند (۵). از بین تمام این عوامل پیش رگزایی فعال شده، HIF^۴ و VEGFA^۵، یک میتوژن اندوتیال قوی و پروتئینی برجسته در فرآیند رگزایی است زیرا در بسیاری از تومورهای انسانی به شدت بیان می‌شود (۶). در پستانداران، خانواده VEGF دارای شش عضو، VEGFD, VEGFC, VEGFB, VEGFA, VEGFF, VEGFE و فاکتور رشد جفتی (PGF)^۶ می‌باشد (۷، ۸)، اعضای خانواده VEGF به سه گیرنده تیروزین کیناز VEGFR2^۷, VEGFR3^۸ و VEGFR1^۹ عمدتاً در سلول‌های بنیادی اندوتیال عروقی (ESC)^{۱۰} بیان می‌شوند، این در حالی است که VEGFR3 در EC‌های لنفاوی بیان می‌شود. دارای فعالیت پیش رگزایی قوی‌تر و فعالیت تیروزین کیناز بالاتری

¹ Vasculogenesis

² Angioblast

³ Angiogenesis

⁴ Hypoxia-inducible factors (HIFs)

⁵ Vascular endothelial growth factor (VEGF)

⁶ Placental Growth Factor (PGF)

⁷ Receptors for vascular endothelial growth factor (VEGFR)

⁸ Endothelial stem cells (ESCs)

⁹ Neovascularization

¹⁰ Vascular endothelial Growth factor (VEGF)

¹¹ Human Vein Endothelial Cells (HUVEC)

و در نهایت ساختار لواشکی از عصاره به دست آمد. نمونه تا زمان انجام آزمایش درون یخچال نگهداری گردید (۱۶).

جداسازی ترکیبات پلی فنلی به وسیله HPLC

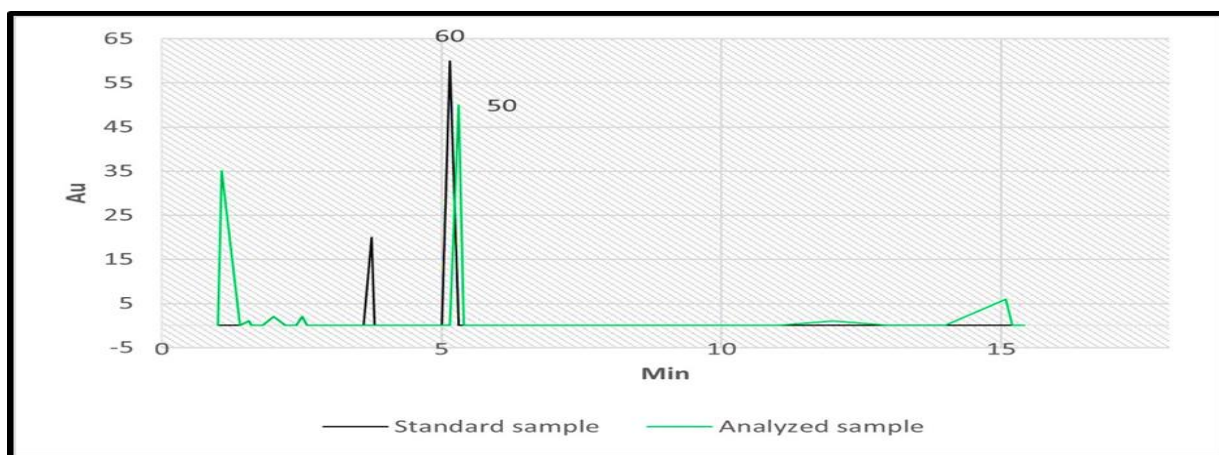
در این تست از دستگاه HPLC مدل Shimadzu RID-10A به منظور شناسایی ترکیبات آلکالوئیدی عصاره اتانولی میوه RIU or گیاه زرشک استفاده شد. استخراج به وسیله دتکتور مدل $\lambda = 2670$ nm در طول موج $260 - 400$ nm به مدت ۲ ساعت انجام گردید، که بر این اساس $5/14$ دقیقه طول کشید تا بعد از تزریق، هر ملکول از ستون دستگاه آنالیز عبور کند و آلکالوئید بربین از نمونه استاندارد استخراج گردد و در زمان $5/22$ دقیقه آلکالوئید بربین از عصاره استخراج شده به روش پرکولاتور از میوه گیاه زرشک به دست آمد (شکل ۱).

(۱۵) در این تحقیق از عصاره هیدروالکلی میوه زرشک استفاده گردید که به میزان مشخصی دارای آلکالوئید بربین است، تا اثر آن روی رگزایی در جنین جوجه مرغ مورد بررسی قرار گیرد.

روش تحقیق عصاره‌گیری

میوه گیاه *Berberis vulgaris* L. با شماره هربراریوم ۲۶۷۰ درختچه‌ای از خانواده Berberidaceae جمع‌آوری شده در آبان ماه از منطقه قائنات خراسان جنوبی (جدول ۱)، در مکانی دور از نور خورشید با هوادهی کافی خشک شده و درنهایت 200 g از پودر خشک شده به مدت ۷۲ ساعت درون پرکولاتور با اتانول 70% گذاشته شد. محلول حاصل حاوی عصاره گیاهی به همراه مقداری بالابی از الکل است به همین ترتیب عصاره به دست آمده در روتاری قرار داده شد تا حد ممکن تبخیر در عصاره به دست آمده صورت گیرد جدول ۱-ویژگی‌های جغرافیایی محل جمع‌آوری گونه مورد مطالعه

نام گونه	محل جمع‌آوری	شماره هربراریوم	مشخصات جغرافیایی	ارتفاع از سطح دریا (m)	میانگین دما ($^{\circ}\text{C}$)	میانگین بارش سالیانه (mm)	میانگین رطوبت سالانه
<i>Berberis vulgaris</i>	خراسان جنوبی-قائن	۲۶۷۰	$33^{\circ}44'06.3"N$ $59^{\circ}10'46.5"E$	۱۴۳۲	۱۶	mm120	۳۸٪



شکل ۱- کروماتوگرافی HPLC، اندازه‌گیری شده در ۳۴۰ نانومتر که در زمان $5:14$ برابرین از نمونه استاندارد (AU₅₀) و در زمان $22:05$ ثانیه از عصاره هیدروالکلی تهیه شده از میوه زرشک (AU₆₀) استخراج شده است.

گروه تجربی A

نمونه‌ها در روز هشتم انکوباسیون تخم مرغ‌ها از دستگاه خارج گشته و توسط $200 \mu\text{l}$ عصاره آبی زرشک با غلظت $40 \mu\text{g/ml}$ تیمار شدند و مجدد تا روز دوازدهم درون دستگاه انکوباتور با دمای 37°C و رطوبت 60 الی 70% قرار گرفتند.

گروه تجربی B

نمونه‌ها روز هشتم انکوباسیون تخم مرغ‌ها از دستگاه خارج گشته و توسط $200 \mu\text{l}$ عصاره آبی زرشک با غلظت $80 \mu\text{g/ml}$ تیمار شدند و مجدد تا روز دوازدهم درون دستگاه انکوباتور با دمای 37°C و رطوبت 60 الی 70% قرار گرفتند.

گروه تجربی C

در روز هشتم انکوباسیون تخم مرغ‌ها از دستگاه خارج گشته و توسط $200 \mu\text{l}$ عصاره آبی زرشک با غلظت $120 \mu\text{g/ml}$ تیمار شدند و مجدد تا روز دوازدهم درون دستگاه انکوباتور با دمای 37°C و رطوبت 60 الی 70% قرار گرفتند.

زمان‌ها با توجه به شکل گیری پرده کوریوالانتوئیک و توسعه عروق در تمام مقالات مشابه انجام شده بروی CAM در نظر گرفته شده است (۲۱، ۲۲). از پرده کوریوالانتوئیک به کمک فتواستریومیکروسکوپ (Ziess, آلمان) با بزرگ نمایی 64 برابر عکس گرفته و به کمک آنالیز داده‌ها توسط نرم افزار J Image در صفحه نمایش 15 اینچی بررسی شد. اندازه‌گیری شاخص تعداد عروق و قطر انشعابات در مربع‌هایی به ابعاد $2 \times 2 \text{ cm}$ انجام شد. آنالیزهای آماری: پس از کنترل نرمال بودن باقی \bar{x} مانده داده‌ها، تجزیه آماری داده‌ها با استفاده از نرم افزار SPSS و مقایسه میانگین داده‌ها با استفاده از آزمون LSD در سطح احتمال پنج درصد انجام شد. نمودارها نیز توسط نرم افزار Excel رسم شد.

تهیه تیمارها

نمونه تزریقی در 3 غلظت $40 \mu\text{g/ml}$, $80 \mu\text{g/ml}$ و $120 \mu\text{g/ml}$ به صورت محلول در آب تهیه گردید. غلظت‌های مورد نظر بر اساس مطالعات اولیه روی جنین انجام گرفت به نحوی که غلظت‌های بالا باعث مرگ جنین و غلظت‌های کم روی جنین بی اثر نباشد (۱۷، ۱۸، ۱۹، ۲۰). پس از فیلتراسیون با فیلتر (pore size) $20 \mu\text{m}$ (۰/۲۲ μm) به میزان 1 ml به تخمر مرغ‌های جنین دار تزریق شد این میزان بر اساس تست زنده مانی MTT (احیاء نمک تترازولیوم) بر روی سلول‌های فیبروبلاست جنین انجام شد.

سنجهش پرده کوریوالانتوئیک (CAM)^۱

۳۶ عدد تخم مرغ جنین دار از مرکز واکسن و سرم‌سازی رازی شیراز تهیه گردید. تخم مرغ‌ها ابتدا در دستگاه انکوباتور با دمای 37°C و رطوبت 65 الی 70% قرار گرفتند، در روز سوم تخم مرغ‌ها از دستگاه خارج شده و سپس در زیر هود لامینار استریل به کمک پنس استریل بر روی قسمت پهنه تخم مرغ (بخش حفره هوایی تخم مرغ) سوراخی ایجاد گردید و همچنین در سمت پهلوی تخم مرغ پنجره‌ای به ابعاد 1×1 میلی متر باز شد، حفره به وسیله لامل و پارافین استریل بسته شد و تخم مرغ‌ها مجدد درون دستگاه انکوباتور قرار گرفتند تا روز هشتم، در روز هشتم تخم مرغ‌ها از دستگاه خارج شده زنده مانی آن‌ها به واسطه حرکت جنین و پایداری پرده کوریوالانتوئیک به صورت مشاهده مستقیم از حفره باز شده بررسی شد، در نهایت آزمایش در چهار گروه آزمایشی، گروه شاهد و گروه‌های تجربی (پایین ترین مقدار غلظت دارو و غلظت متوسط و بالاترین میزان غلظت دارو) انجام شد (۲۱، ۲۲).

گروه شاهد

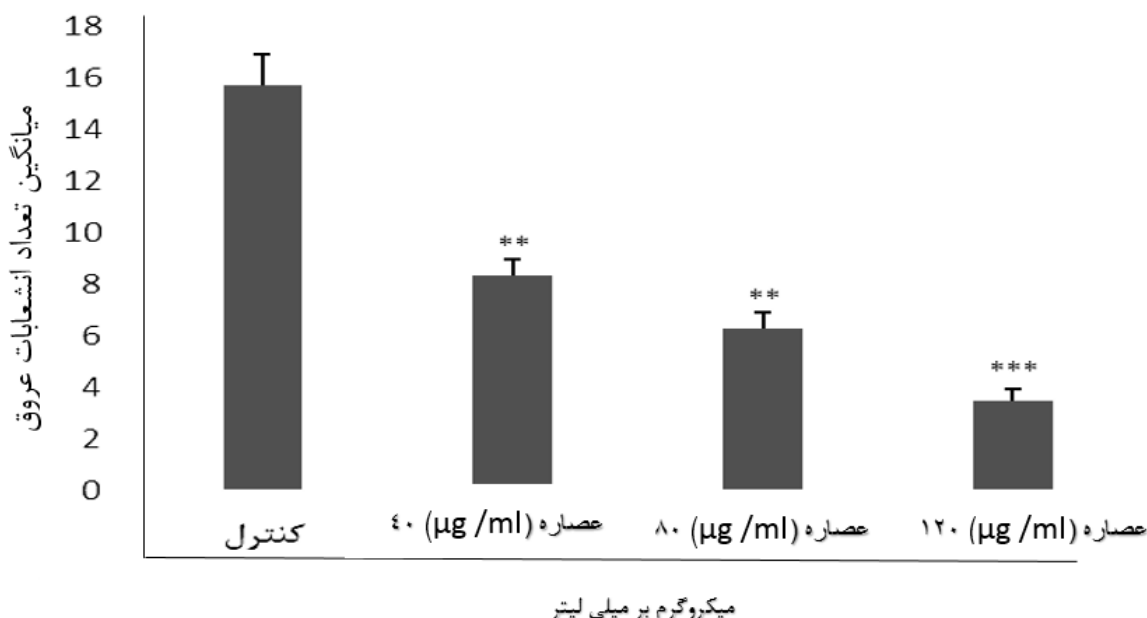
نمونه‌ها درون دستگاه انکوباسیون تا روز دوازدهم با دمای 37°C و رطوبت 60 الی 70% قرار گرفتند.

^۱ Chorioallantoic membrane (CAM)

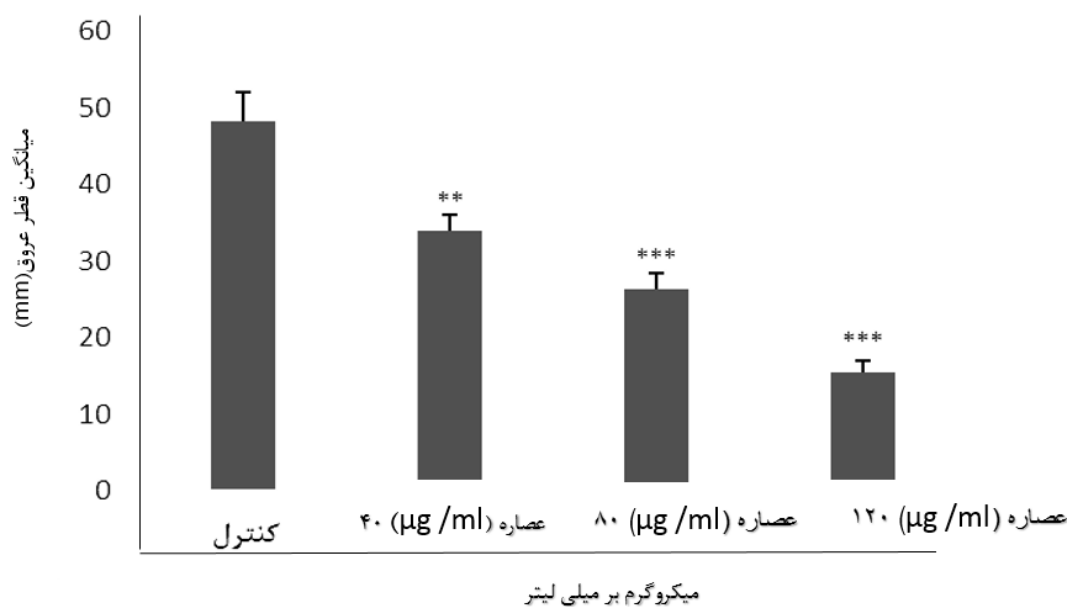
یافته‌ها

جنین جوچه نسبت به تیمار شاهد (عدم کاربرد تیمار) شد (نمودار ۲). با کاهش قطر رگ اصلی و کاهش تعداد انشعابات در جنین هیچ گونه اختلال کاهش وزن، کوتولگی وناهنگاری در جنین‌های تحت تیمار با عصاره هیدروالکلی زرشک نسبت به گروه کنترل دیده نشد. تصاویر بدست آمده در نرمافزار J Image (شکل ۲) نشان می‌دهد تصویر با تزریق عصاره قطر و تعداد انشعابات رگ‌ها کاهش می‌یابد. تصویر D نشان می‌دهد که بیشترین مهار رگ زایی در غلظت $120 \mu\text{g}/\text{ml}$ باشد. هرچقدر میزان گراف‌ها در طول محور y-ها بلند‌تر (y بزرگ‌تری داشته باشد) باشد، قطر آن رگ بر حسب پیکسل تصویر بیشتر است (نمودار ۳).

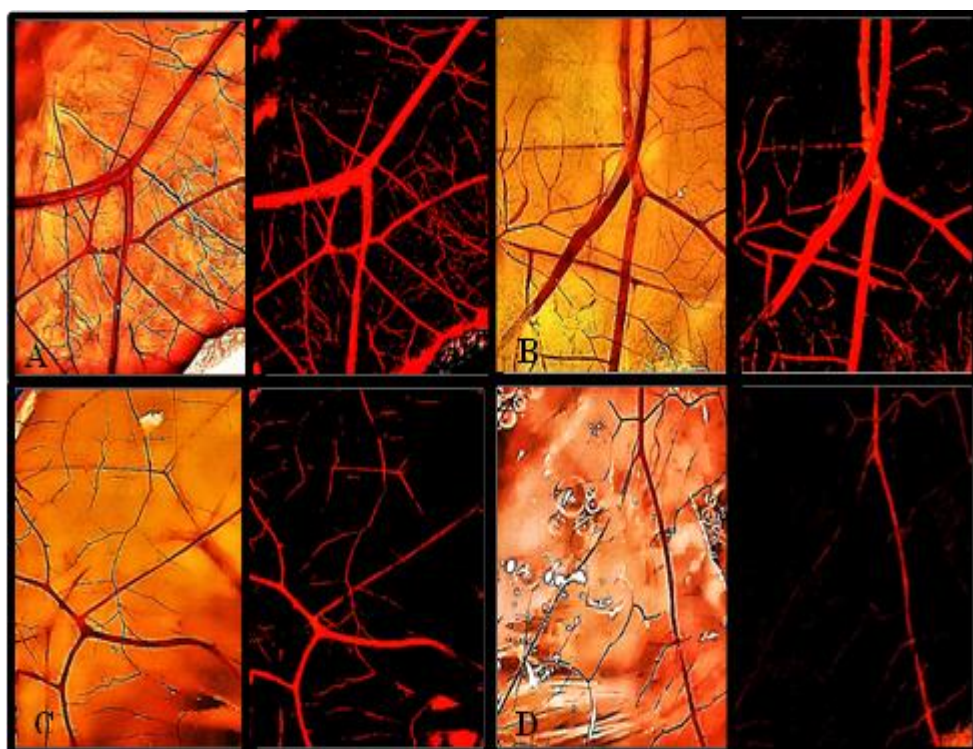
نتاج تجزیه واریانس داده‌ها نشان داد که تیمار عصاره هیدروالکلی میوه زرشک تأثیر معنی‌داری بر تعداد انشعابات عروق (P<0.01) و مجموع قطر عروق خونی ($P<0.01$) در پرده کوریوآلانتوئیک جنین جوچه داشت. کمترین تعداد انشعابات عروق خونی در پرده کوریوآلانتوئیک جنین در تیمار $120 \mu\text{g}/\text{ml}$ عصاره هیدرولیکی میوه زرشک (به مقدار ۳/۵۱) مشاهده شد و اختلاف معنی‌داری با سایر تیمارها داشت (نمودار ۱). مقایسه میانگین مجموع قطر عروق خونی در پرده کوریوآلانتوئیک جنین جوچه نشان داد تیمار عصاره هیدرولیکی میوه زرشک در تمامی سطوح بکار برده شده باعث کاهش معنی‌دار قطر عروق خونی در پرده کوریوآلانتوئیک



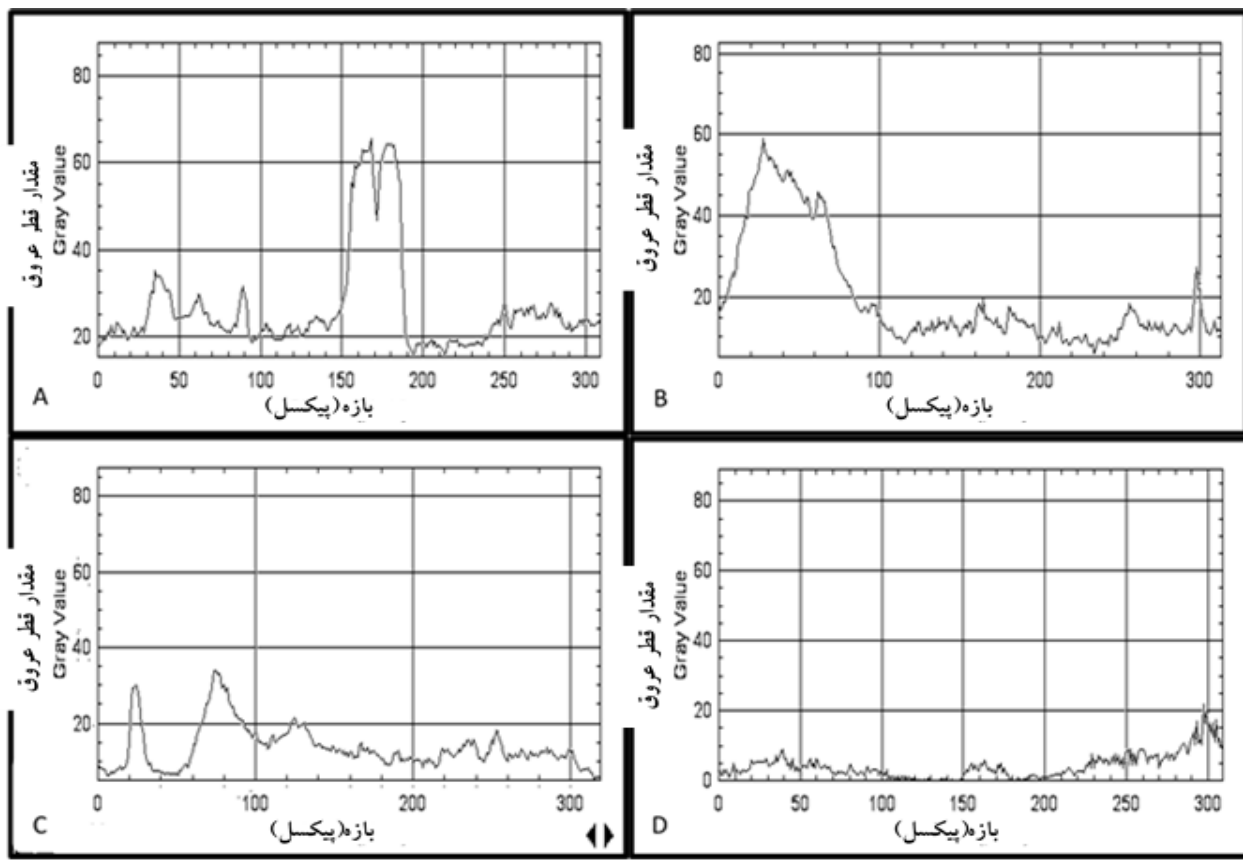
نمودار ۱- میانگین تعداد انشعابات عروق در گروه‌های تجربی تیمار شده با غلظت‌های متفاوت عصاره هیدروالکلی میوه زرشک و گروه شاهد (**p<0.01, ***p<0.001)



نمودار ۲- میانگین قطر عروق در گروههای تجربی تیمار شده با غلظت‌های متفاوت عصاره هیدروالکلی گیاه زرشک و گروه شاهد ($P<0.001$ ، $***P<0.01$)



شکل ۲- تصاویر عکسبرداری شده به وسیله استریو میکروسکوپ $\times 64$ از پرده کوریوالانتوئیک (CAM) تحت تیمار با عصاره هیدرو الکلی گیاه زرشک که میزان عروق به وسیله نرمافزار ImageJ آنالیز شده است: A) گروه کنترل، B) غلظت ۴۰ ماکروگرم بر میلی لیتر، C) غلظت ۸۰ ماکروگرم بر میلی لیتر و D) غلظت ۱۲۰ ماکروگرم بر میلی لیتر)



نمودار ۳- اندازه قطر عروق بر حسب میزان پیکسل عکس های تهیه شده از گروه های آزمایشی (B, C, D) و کنترل (A)

تنظیم می کند. درمان با بربین به طور قابل توجهی EGFR³ را کاهش می دهد که در نتیجه منجر به کاهش فعالیت PI3K و AKT شده است. این دو عامل PI3K⁵ و AP-1⁶ مسبب فعال سازی فرایندهای پایین دستی متاستاز از جمله بیان MMP-2، VEGF، MMP-9 و CyclinD1 هستند، که با کاهش بیان آن متاستاز و رگ زایی نیز متوقف می گردد (۲۵).

فعال شدن EGFR با تنظیم افزایش بیان HIF-1α سبب افزایش بیان VEGF می شود، در زمان مقاومت اکتسابی EGFR/TKI، مسیر VEGF ممکن است منحصرآ از سیگنال دهنده EGFR برای حفظ رشد تومور عمل کند در نهایت مهار دو جانبه

بحث

پژوهش حاضر به صورت *in vivo* و بروی مدل پرده کوریوآلانتوئیک جنین جوجه با سه غلظت ۸۰، ۱۲۰ و ۲۰۰ ماکرو گرم بر میلی لیتر از عصاره هیدروالکلی میوه زرشک انجام شد که باعث کاهش در تعداد و یا قطر انسعبابت عروقی گردید. در تحقیقی مشابه، اثر بربین بر EMT¹ در سلول های استئوسارکوم نشان داد که زنده ماندن سلوی و مهاجرت، تشکیل کلی و بهبود زخم خراش سلول های استئوسارکوم توسط بربین سرکوب شد (۲۳). علاوه بر این، اثرات مهاری بربین در برابر بیان و فعالیت ماتریکس متالوپروتئیناز 2 MMP-9 نشان داده شد (۲۴) که تأیید کننده اثر ضد سلطانی بربین می باشد.

بربین AP-1² و NF-κB³ را برای سرکوب

³ nuclear factor kappa light chain enhancer of activated B cells (NF-κB)

⁴ Epidermal growth factor receptor

⁵ Phosphoinositide 3-kinases (PI3Ks)

⁶ Protein kinase B (PKB).

¹ Epithelial-mesenchymal transition (EMT)

² Activator protein 1 (AP-1)

بیماری‌های مختلف از جمله تومورها، روش‌های مهار آنژیوژنر مسیر امیدوار کننده‌ای برای درمان بیماری‌های وابسته به آنژیوژنر محسوب می‌گردد. تحقیقات بیشتر می‌تواند در آگاهی بر احتمال استفاده کاربردی از عصاره میوه گیاه زرشک به عنوان دارو یا رژیم غذایی به منظور درمان بیماری‌ها از جمله سلطان‌ها مؤثر واقع گردد.

ملاحظات اخلاقی

مطالعه حاضر پس از تأیید شورای پژوهشی دانشگاه بیرجند و کمیته اخلاق با کد IR.BIRJAND.REC.1402.003 انجام شد.

حمایت مالی

این تحقیق هیچ گونه حمایت مالی از سازمان‌های تأمین مالی در بخش‌های عمومی، تجاری یا غیر انتفاعی دریافت نکرد.

تقدیر و تشکّر

این مقاله حاصل پایان نامه تحت عنوان بررسی مقایسه‌ای اثر عصاره هیدرولکلی گیاه زرشک (*Berberis vulgaris* L.) و خارمریم (*Silybum marianum* L. Gaertn) بر میزان رگزایی در سلول‌های توموری در مقطع کارشناسی ارشد در سال ۱۴۰۲ با کد اخلاق IR.BIRJAND.REC.1402.003 می‌باشد که با حمایت دانشگاه بیرجند و همکاری دانشگاه علوم پزشکی شیراز اجرا شده است.

مشارکت نویسنده‌گان

مفهوم‌سازی و طراحی مطالعه: شعله قلاسی‌مود، نادر قلعه‌گلاب تحلیل و تفسیر داده‌ها: شعله قلاسی‌مود، نادر قلعه‌گلاب تهییه پیش‌نویس دست‌نوشته: فرشته رویگری تحلیل آماری: شعله قلاسی‌مود نظرارت بر مطالعه: نادر قلعه‌گلاب بازبینی نقادانه دست‌نوشته برای محتواه فکری: شعله قلاسی‌مود

EGFR/VEGF اثر ضد توموری قوی‌تری نسبت به تک درمانی در نمونه‌های جهش یافته دارد. در نهایت درمان با بربرین و متوقف کردن مسیر EGFR سبب توقف رگزایی و متاستاز می‌شود (۱۲).^۱ مکانیسم اثر و پتانسیل درمانی بربرین در مدل خاص از NASH-HCC^۱ بررسی کردند. همانطور که انتظار می‌رفت، توموزایی در کبد موش تحت درمان با بربرین بسیار کاهش یافت. علاوه بر این، VEGF و ST-HFHC^۲ افزایش بیان CD31 و TNF-α را کاهش داد (۲۸).

بربرین بهدلیل از بین بربن رادیکال‌های آزاد، آنژیوژنر را در اجسام شبه جنینی مهار می‌کند (۲۹) و تعديل کننده برنامه سلولی در سه سطح فسفولالاسیون اکسیداتیو میتوکندریایی، گلیکولیز و سنتز ماکروملکول در سلطان سینه به طور همزمان است (۳۰) و توانایی این ترکیب به علت مهار مسیر PI-3K/AKT می‌باشد (۳۱). تأثیر بربامین و مشتقات آن بر ممانعت از رشد سلول‌های سلطانی کبد با هدف‌گیری کاهش فعالیت پروتئین کیناز II وابسته به کلسیم/کالمadolین نشان داده شده است؛ زیرا بیان بیش از حد کلسیم/کالمadolین تکثیر سلول سلطانی کبد را موجب می‌شود (۳۲).

نتیجه‌گیری

طبق مطالعات انجام شده در این پژوهش استفاده از میوه زرشک می‌تواند در هر سه غلظت استفاده شده بر روی مهار رگزایی از طریق کاهش قطر و تعداد انشعابات عروق تأثیر گذارد؛ اما بیشترین بازداشتگی در غلظت تزریقی $120 \mu\text{g}/\text{ml}$ مشاهده شده است. با توجه به اهمیت آنژیوژنر و عوامل مهار کننده آن برای درمان

¹ Nonalcoholic steatohepatitis-Hepatocellular Carcinoma (NASH-HCC)

² *Sargassum tenerrium*-High fat& High cholesterol (STZ-HFHC)

تضاد منافع

نویسندهای مقاله اعلام می‌دارند که هیچ گونه تضاد منافعی در

منابع:

- پژوهش حاضر وجود ندارد.
- Herrera-Vargas AK, Garcia-Rodriguez E, Olea-Flores M, Mendoza-Catalan MA, Flores-Alfaro E, Navarro-Tito N. Pro-angiogenic activity and vasculogenic mimicry in the tumor microenvironment by leptin in cancer. *Cytokine Growth Factor Rev.* 2021; 62: 23-41. DOI: [10.1016/j.cytogfr.2021.10.006](https://doi.org/10.1016/j.cytogfr.2021.10.006)
 - Madu CO, Wang S, Madu CO, Lu Y. Angiogenesis in breast cancer progression, diagnosis, and treatment. *J Cancer.* 2020; 11(15): 4474-94. DOI: [10.7150/jca.44313](https://doi.org/10.7150/jca.44313)
 - Lugano R, Ramachandran M, Dimberg A. Tumor angiogenesis: causes, consequences, challenges and opportunities. *Cell Mol Life Sci.* 2020; 77(9): 1745-70. DOI: [10.1007/s00018-019-03351-7](https://doi.org/10.1007/s00018-019-03351-7)
 - Jiang X, Wang J, Deng X, Xiong F, Zhang S, Gong Z, et al. The role of microenvironment in tumor angiogenesis. *J Exp Clin Cancer Res.* 2020; 39(1): 1-19. DOI: [10.1186/s13046-020-01709-5](https://doi.org/10.1186/s13046-020-01709-5)
 - Najafi M, Goradel NH, Farhood B, Salehi E, Solhjoo S, Toolee H, et al. Tumor microenvironment: Interactions and therapy. *J Cell Physiol.* 2019; 234(5): 5700-21. [Persian] DOI: [10.1002/jcp.27425](https://doi.org/10.1002/jcp.27425)
 - Pandey P, Khan F, Upadhyay TK, Seungjoon M, Park MN, Kim B. New insights about the PDGF/PDGFR signaling pathway as a promising target to develop cancer therapeutic strategies. *Biomed Pharmacother.* 2023; 161: 114491. DOI: [10.1016/j.biopha.2023.114491](https://doi.org/10.1016/j.biopha.2023.114491)
 - Aldinucci D, Borghese C, Casagrande N. The CCL5/CCR5 axis in cancer progression. *Cancers.* 2020; 12(7): 1765. DOI: [10.3390/cancers12071765](https://doi.org/10.3390/cancers12071765)
 - Lv F, Li X, Wang Y, Hao L. MAGP1 maintains tumorigenicity and angiogenesis of laryngeal cancer by activating Wnt/β-catenin/MMP7 pathway. *Carcinogenesis.* 2024; 45(4):220-34. DOI: [10.1093/carcin/bgad003](https://doi.org/10.1093/carcin/bgad003)
 - Ceci C, Atzori MG, Lacal PM, Graziani G. Role of VEGFs/VEGFR-1 signaling and its inhibition in modulating tumor invasion: Experimental evidence in different metastatic cancer models. *Int J Mol Sci.* 2020; 21(4): 1388. DOI: [10.3390/ijms21041388](https://doi.org/10.3390/ijms21041388)
 - Yao C, Wu S, Kong J, Sun Y, Bai Y, Zhu R, et al. Angiogenesis in hepatocellular carcinoma: mechanisms and anti-angiogenic therapies. *Cancer Biol Med.* 2023; 20(1): 25-43. DOI: [10.20892/j.issn.2095-3941.2022.0449](https://doi.org/10.20892/j.issn.2095-3941.2022.0449)
 - Qi S, Deng S, Lian Z, Yu K. Novel drugs with high efficacy against tumor angiogenesis. *Int J Mol Sci.* 2022; 23(13): 6934. DOI: [10.3390/ijms23136934](https://doi.org/10.3390/ijms23136934)
 - Li H-X, Wang S-Q, Lian Z-X, Deng S-L, Yu K. Relationship between tumor infiltrating immune cells and tumor metastasis and its prognostic value in cancer. *Cells.* 2022; 12(1): 64. DOI: [10.3390/cells12010064](https://doi.org/10.3390/cells12010064)
 - Wang B, Wu L, Chen J, Dong L, Chen C, Wen Z, et al. Metabolism pathways of arachidonic acids: Mechanisms and potential therapeutic targets. *Signal Transduct Target Ther.* 2021; 6(1): 94. DOI: [10.1038/s41392-020-00443-w](https://doi.org/10.1038/s41392-020-00443-w)
 - Fallah A, Sadeghinia A, Kahroba H, Samadi A, Heidari HR, Bradaran B, et al. Therapeutic targeting of angiogenesis molecular pathways in angiogenesis-dependent diseases. *Biomed Pharmacother.* 2019; 110: 775-85. [Persian] DOI: [10.1016/j.biopha.2018.12.022](https://doi.org/10.1016/j.biopha.2018.12.022)
 - Almatroodi SA, Alsahli MA, Rahmani AH. Berberine: An important emphasis on its anticancer effects through modulation of various cell signaling pathways. *Molecules.* 2022; 27(18): 5889. DOI: [10.3390/molecules27185889](https://doi.org/10.3390/molecules27185889)
 - Salehi B, Selamoglu Z, Sener B, Kilic M, Kumar Jugran A, de Tommasi N, et al. Berberis plants—drifting from farm to food applications, phytotherapy, and phytoparmacology. *Foods.* 2019; 8(10): 522. [Persian] DOI: [10.3390/foods8100522](https://doi.org/10.3390/foods8100522)
 - Song D, Hao J, Fan D. Biological properties and clinical applications of berberine. *Front Med.* 2020; 14(5): 564-82. DOI: [10.1007/s11684-019-0724-6](https://doi.org/10.1007/s11684-019-0724-6)

18. Hooshmand Moghadam B, Kordi MR, Mahdian S. The effect of Barberry Juice supplement on Prostaglandin E2 level caused by intense aerobic activity in active young girls. *J Birjand Univ Med Sci.* 2017; 24: 1-9. [Persian] URL: <http://journal.bums.ac.ir/article-1-2235-en.html>
19. Malhotra B, Kulkarni GT, Dhiman N, Joshi D, Chander S, Kharkwal A, et al. Recent advances on *Berberis aristata* emphasizing berberine alkaloid including phytochemistry, pharmacology and drug delivery system. *J Herb Med.* 2021; 27(6): 100433. DOI: [10.1016/j.hermed.2021.100433](https://doi.org/10.1016/j.hermed.2021.100433)
20. Rokade M, Vichare V, Neve T, Parande B, Dhole S. A review on anticancer potential of *Berberis aristata* and berberine with focus on quantitative methods. *Journal of Preventive, Diagnostic and Treatment Strategies in Medicine.* 2022; 1(2): 67-75. DOI: [10.4103/jpdtsm.jpdtsm_9_22](https://doi.org/10.4103/jpdtsm.jpdtsm_9_22)
21. Moldovan C, Frumuzachi O, Babotă M, Menghini L, Cesa S, Gavan A, et al. Development of an Optimized Drying Process for the Recovery of Bioactive Compounds from the Autumn Fruits of *Berberis vulgaris* L. and *Crataegus monogyna* Jacq. *Antioxidants.* 2021; 10(10): 1579. DOI: [10.3390/antiox10101579](https://doi.org/10.3390/antiox10101579)
22. Shekarabi SPH, Mehrgan MS, Ramezani F, Dawood MA, Van Doan H, Moonmanee T, et al. Effect of dietary barberry fruit (*Berberis vulgaris*) extract on immune function, antioxidant capacity, antibacterial activity, and stress-related gene expression of Siberian sturgeon (*Acipenser baerii*). *Aquac. Rep.* 2022; 23: 101041. DOI: [10.1016/j.aqrep.2022.101041](https://doi.org/10.1016/j.aqrep.2022.101041)
23. Mishra R, Nathani S, Varshney R, Sircar D, Roy P. Berberine reverses epithelial-mesenchymal transition and modulates histone methylation in osteosarcoma cells. *Mol Biol Rep.* 2020; 47(11): 8499-511. DOI: [10.1007/s11033-020-05892-8](https://doi.org/10.1007/s11033-020-05892-8)
24. Chavda VP, Nalla LV, Balar P, Bezbarua R, Apostolopoulos V, Singla RK, et al. Advanced Phytochemical-Based Nanocarrier Systems for the Treatment of Breast Cancer. *Cancers.* 2023; 15(4): 1023. DOI: [10.3390/cancers15041023](https://doi.org/10.3390/cancers15041023)
25. Chuang TC, Wu K, Lin YY, Kuo HP, Kao MC, Wang V, et al. Dual down-regulation of EGFR and ErbB2 by berberine contributes to suppression of migration and invasion of human ovarian cancer cells. *Environ Toxicol.* 2021; 36(5): 737-47. DOI: [10.1002/tox.23076](https://doi.org/10.1002/tox.23076)
26. Luo Y, Tian G, Zhuang Z, Chen J, You N, Zhuo L, et al. Berberine prevents non-alcoholic steatohepatitis-derived hepatocellular carcinoma by inhibiting inflammation and angiogenesis in mice. *Am J Transl Res.* 2019; 11(5): 2668. PMCID: [PMC6556646](#) PMCID: [PMC6556646](#)
27. Dyson J, Jaques B, Chattopadyhay D, Lochan R, Graham J, Das D, Aslam T, Patanwala I, Gaggar S, Cole M, Sumpter K, Stewart S, Rose J, Hudson M, Manas D, Reeves HL. Hepatocellular cancer: the impact of obesity, type 2 diabetes and a multidisciplinary team. *J Hepatol.* 2014; 60: 110–117. DOI: [10.1016/j.jhep.2013.08.011](https://doi.org/10.1016/j.jhep.2013.08.011)
28. Zheng R, Li F, Li F, Gong A. Targeting tumor vascularization: promising strategies for vascular normalization. *J Cancer Res Clin Oncol.* 2021; 147(9): 2489-505. DOI: [10.1007/s00432-021-03701-8](https://doi.org/10.1007/s00432-021-03701-8)
29. Campisi A, Acquaviva R, Mastrojeni S, Raciti G, Vanella A, De Pasquale R. Effect of berberine and *Berberis aetnensis* alkaloid extract on tissue trans glutaminase in primary astroglia cell cultures. *Phytotherapy Research Journal,* 2010, 25(6): 816-820. DOI: [10.1002/ptr.3340](https://doi.org/10.1002/ptr.3340)
30. Tan W, Li n, Tan R, Zhong Z, Suo Z, Yang X. 2014. Berberine interfered with breast cancer cells metabolism, balancing energy homeostasis. *Anticancer Agents Med. Chem.* 15(1): 66-78. DOI: [10.2174/1871520614666140910120518](https://doi.org/10.2174/1871520614666140910120518)
31. Kim S, Oh SJ, Lee J, Han J, Jeon M, Jung T, Nam SJ. Berberine suppresses TPA induced fibronectin expression through the inhibition of secretion in breast cancer cells. *Cellular Physiology and Biochemistry.* 2013, 32(5): 15341-1550. DOI: [10.1159/000356591](https://doi.org/10.1159/000356591)
32. Meng Z, Li T, Ma X, Wang X, Ness C. Berbamine inhibits the growth of liver cancer cells and cancer-initiating cells by targeting Ca/calmodulin-dependent protein kinas II. *Molecular Cancer Therapeutics.* 2013, 12(10): 2067-77. DOI: [10.1158/1535-7163.MCT-13-0314](https://doi.org/10.1158/1535-7163.MCT-13-0314)